

УДК 539.4

МАТЕМАТИЧЕСКОЕ МОДЕЛИРОВАНИЕ НАНО-КОНТАКТНОГО ВЗАИМОДЕЙСТВИЯ ОРТОТРОПНЫХ ТЕЛ

В.В. Можаровский¹, Н.А. Марьяна²

Гомельский государственный университет им. Ф. Скорины, Гомель
Белорусский государственный университет транспорта, Гомель

MATHEMATICAL MODELING OF NANO-CONTACT INTERACTION OF ORTHOTROPIC BODIES

V.V. Mozharovsky¹, N.A. Marjina²

¹F. Scorina Gomel State University, Gomel
²Belarusian State University of Transport, Gomel

Рассматривается упругая задача о применении теории контактного взаимодействия в системе «сканирующий зонд – ортотропный образец» как для однородного упругого тела, так и для ортотропного покрытия. Представлены аналитические зависимости и графики, облегчающие поиск и нахождение параметров контакта.

Ключевые слова: контакт, ортотропное тело, нано-контакт, покрытие, композит, модель.

The elastic problem of application of the theory of contact interaction in system «scanning probe – orthotropic sample» for both homogeneous elastic body and orthotropic coating is considered. Analytical dependences and the graphs facilitating search and finding contact.

Keywords: contact, orthotropic body, nano-contact, coating, composite, model.

Введение

Теория контакта в упругой среде описана в литературе достаточно полно для изотропных тел. Так, основываясь на теории Герца, широко известны закономерности изменения параметров упругого контакта – величины максимальной контактной силы и упругой деформации, размеров зон контакта и закон контактного распределения давления. Затем И.Я. Штаерман [1] решил контактную задачу для более общего касания упругих тел. Контакт изотропных цилиндров был рассмотрен А.Н. Динником [2], а ударное взаимодействие твердых тел отражено в книге В. Голдсмита [3]. Аналитическое исследование удара композиционных материалов рассмотрено в работах [4]. В разделе книги [5] Ф. Муна дан подробный анализ исследований, касающихся аналитического моделирования удара применительно к композиционным материалам. Отмечается, что для приближенного анализа теории контакта используется все та же квазистатическая теория Герца, применительно к анизотропным материалам, базирующаяся на статическом решении контактной задачи взаимодействия упругого индентора с анизотропным полупространством. Продолжение исследований в области контактного взаимодействия для анизотропных тел представлено в работах [8]–[15].

Разработка теории расчета и экспериментальных исследований на контактную прочность и деформативность элементов машин из композиционных материалов остается достаточно

важной и актуальной проблемой современной механики. Базируясь на решениях контактных задач [10]–[15], представлены теоретические расчеты, которые имеют важное практическое значение при исследовании о влиянии анизотропии свойств поверхностных слоев на напряженно-деформированное состояние (НДС).

Теория контактного взаимодействия упругих тел, в основном, широко разработана и применяется для инженерных расчетов на так называемом макроуровне, но оказывается, что с некоторой степенью точности полученные теоретические зависимости можно успешно применять и для нано – уровней, т.е. исследовать контактное взаимодействие различных частиц с целью дальнейшего применения в нано-технологиях. Классически известно, что при взаимодействии двух упругих тел применяются в основном теоретические зависимости, предложенные Герцем, но для широкого использования в нано-технологиях со сканирующим зондовым микроскопом требуется расширить теорию на более сложные модели, то есть учесть свойства вязкоупругое и слоистости основания, анизотропию свойств поверхности и макромолекул при контакте. Точное решение такой контактной задачи в данной постановке дает возможность учесть методику правильного выбора прижимающей силы, чтобы избежать разрушения зонда или образца при сканировании, а также определять силы в момент касания зондом поверхности, влияющие на колебания кантилевера.

1 Математические модели контактного взаимодействия для нано-контакта

Теоретическое описание взаимодействия сканирующего зонда и образца предложено, например, в работе [16], где показано, что в процессе сканирования зонд воздействует на образец с некоторой силой в диапазоне $(1 \div 100) \cdot 10^{-9}$ Н. Действие этой силы приводит к возникновению значительного контактного давления, которое должно вызывать контактные деформации и большие напряжения. Решение задачи Герца дает соотношение между придавливающей силой и глубиной проникновения α для сферического зонда

$$F = \frac{Ka^3}{R} = K\alpha^{\frac{3}{2}}R^{\frac{1}{2}}, \quad \frac{1}{K} = \frac{3}{4} \left(\frac{1-\nu_1^2}{E_1} + \frac{1-\nu_2^2}{E_2} \right),$$

где E_1, E_2, ν – модули упругости и коэффициент Пуассона контактирующих тел.

При рассмотрении в качестве образца модель волокнистого (ортотропного) основания необходимо использовать теорию контакта анизотропных тел.

Следовательно, можно предположить, что в этом случае закон Герца, установленный для статических условий, применим и для задачи о деформации системы «сканирующий зонд – ортотропный образец»

$$P = n'\alpha^{\frac{3}{2}},$$

где $n' = \left(\frac{16}{3\pi(k_1' + k_2')} \right) \left(\frac{C_R}{s^3} \right)^{\frac{1}{2}}, \quad s = \frac{4F(k)}{\pi p},$

$$F = \frac{Ka^3}{R} = K\alpha^{\frac{3}{2}}R^{\frac{1}{2}}.$$

Величины k_1' и k_2' характеризуют зависимость от упругих свойств зонда и образца. Для волокнистого или композитного образца, моделируемого теорией анизотропного упругого тела [6] выражение для k_2' будет:

$$k_2' = \frac{\sqrt{A_{22}} \left[\left(\sqrt{A_{11}A_{22} + C_{zr}} \right)^2 - (A_{12} + C_{zr})^2 \right]^{\frac{1}{2}}}{2\pi\sqrt{C_{zr}} (A_{11}A_{22} - A_{12}^2)},$$

где

$$A_{11} = E_z(1-\nu_r)\beta, \quad A_{22} = \left[\frac{E_r\beta(1-\nu_{zr}^2\delta)}{1+\nu_r} \right],$$

$$A_{12} = E_z\nu_{zr}\beta, \quad \beta = \frac{1}{1-\nu_r-2\nu_{zr}^2\delta}, \quad \delta = \frac{E_r}{E_z},$$

E, G и ν – модуль Юнга, модуль сдвига и коэффициент Пуассона для образца; индексы r и z обозначают направления по радиусу и толщине соответственно.

Коэффициент C_R учитывает влияние кривизны

$$C_R^{-1} = \frac{1}{R_{1m}} + \frac{1}{R_{2m}} + \frac{1}{R_{1M}} + \frac{1}{R_{2M}},$$

где R_{1m} и R_{1M} – главные радиусы кривизны в точке контакта сканирующего зонда, R_{2m}, R_{2M} – главные радиусы кривизны образца, при этом образуется эллиптическая площадка контакта с большой и малой полуосями:

$$a = m \left[\frac{3\pi}{2} P(k_1' + k_2') C_R \right]^{\frac{1}{3}},$$

$$b = r \left[\frac{3\pi}{2} P(k_1' + k_2') C_R \right]^{\frac{1}{3}}.$$

Для сферического зонда ($R_{1m} = R_{1M} = R_1$), изготовленного из изотропного материала, и для плоского основания ($R_{2m} = R_{2M} = \infty$), $C_R = R_1/2$ и $s = 2$.

Используя теоретический подход [6] приведем некоторые результаты расчета параметров нано-контакта.

При математическом моделировании взаимодействия в системе «сканирующий зонд – ортотропный образец» полученные результаты представлены на рисунках 1 – 4.

Для анализа соотношения между придавливающей силой и глубиной проникновения α , зависимость $F(\alpha) = d\alpha^{3/2}$ расчеты проводились для кремневого зонда ($E = 1.5 \cdot 10^{11}$ Па $\nu = 0.33$) и ортотропного образца ($E_r = 51.1$ ГПа, $E_z = 11.9$ ГПа $G_{zr} = 4.14$ ГПа, $G_r = 19.5$ ГПа, $\nu_r = 0.31, \nu_{zr} = 0.06$), глубина проникновения α изменяется в пределах от 0.1 нм до 1.5 нм. Используя, предоставленные по результатам расчета графические зависимости, дают возможность оптимально выбирать размеры и механические свойства контактирующего зонда – индентора в зависимости от свойств среды.

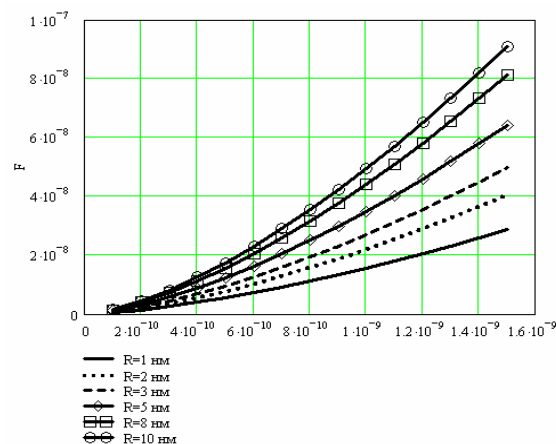


Рисунок 1 – Влияние радиуса сканирующего зонда на величину силы вдавливания (ось Oy) в зависимости от глубины проникновения α (ось Ox), α изменяется в пределах от 0.1 нм до 0.5 нм

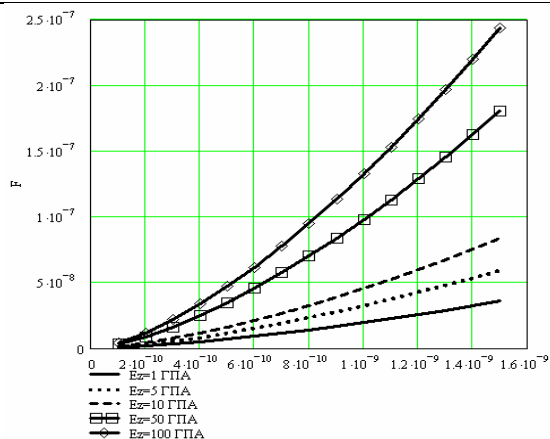


Рисунок 2 – Влияние анизотропии образца на величину силы вдавливания (ось Oy) в зависимости от глубины проникновения α (ось Ox), α изменяется в пределах от 0.1 нм до 0.5 нм

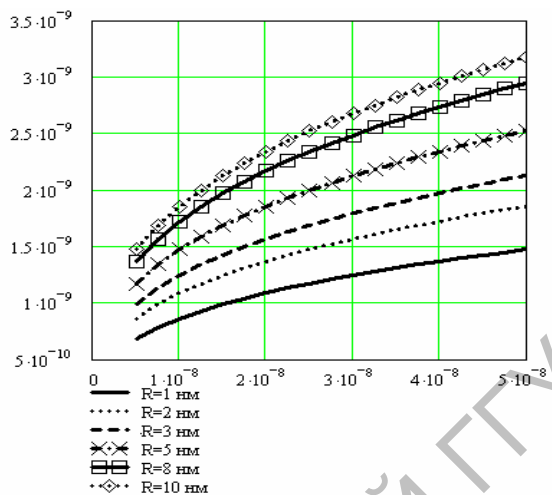


Рисунок 3 – Влияние радиуса индентора на величину площадки контакта (ось Oy) в зависимости от силы вдавливания P (ось Ox), которая изменялась в пределах $5 \cdot 10^{-9} N$ до $50 \cdot 10^{-9} N$

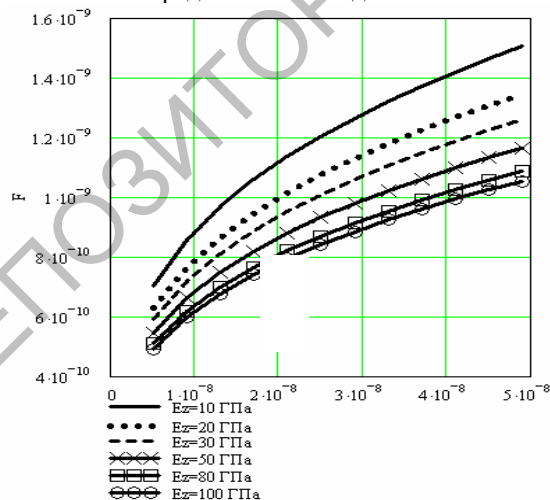


Рисунок 4 – Влияние анизотропии образца на величину площадки контакта (ось Oy) в зависимости от силы вдавливания P (ось Ox), которая изменялась в пределах $5 \cdot 10^{-9} N$ до $50 \cdot 10^{-9} N$

2 Применение решения плоских локальных контактных задач для ортотропных покрытий

В случае использования плоской задачи теории упругости напряжения и перемещения в покрытии выражаются через функцию Эри Φ , более подробная методика представлена в работе [8].

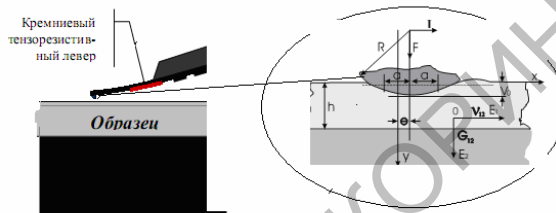


Рисунок 5 – Схема контакта зонда с ортотропным покрытием образца

Предполагаем, что имеет место локальный контакт, когда ширина площадки контакта значительно меньше радиуса зонда (для упрощения расчетов наконечник зонда (кантилевера) моделируем в виде цилиндра, рисунок 5); упругое покрытие из композита моделируем в виде ортотропной бесконечной полосы на жестком основании и адгезионно связанной с ним. При этом выполняются следующие граничные условия:

$$\nu(x, 0) = \nu_0 - \frac{x^2}{2R} - \frac{ex}{R}, \quad \tau = fP, \quad |x| < a;$$

$$P(x, 0) = -\sigma_{yy}(x, 0) = \tau = 0, \quad |x| > a,$$

$$\text{и условие равновесия } F = \int_{-a}^a P(x) dx.$$

Таким образом, задача состоит в том, чтобы при заданных механических характеристиках композиционного покрытия и зонда – индентора ($E_{ii}, \nu_{ii}, G, e, \nu$), нормальной линейной силе F и радиусе найти зону контакта и давление.

Учитывая граничные условия на верхней и нижней границах контакта, получаем систему уравнений для нахождения неизвестных коэффициентов, входящих в функцию напряжений Эри (методика решения дана в работах [10]–[16]). Таким образом, на основании ранее разработанных теоретических положений строится теория определения параметров нано – контакта для различных оснований (образца), включающих анизотропию и слоистость с учетом эффекта трения. На рисунках 6, 7 представлены графические зависимости, облегчающие нахождения параметров контакта для уточняющих теорий. Для облегчения применения теории взаимодействия для нано – контакта, при контакте ортотропного покрытия и цилиндрического жесткого зонда – индентора, ниже приведены графики, с помощью которых легко определить параметры контакта.

В качестве параметра, характеризующего упругие свойства ортотропного покрытия и упругие свойства изотропного основания, вводится параметр $\gamma = \frac{E_2}{E}$, где E_2 – модуль упругости покрытия в направлении оси y ; E – модуль упругости изотропного основания.

На рисунках 6, 7 приведены зависимости изменения параметров контакта $\tilde{p} = p_m / p_0$ и $\tilde{a} = a / a_0$ от $\alpha_{0x} = \frac{a}{h}$. Эпюры давления для некоторых случаев показаны на рисунках 7.

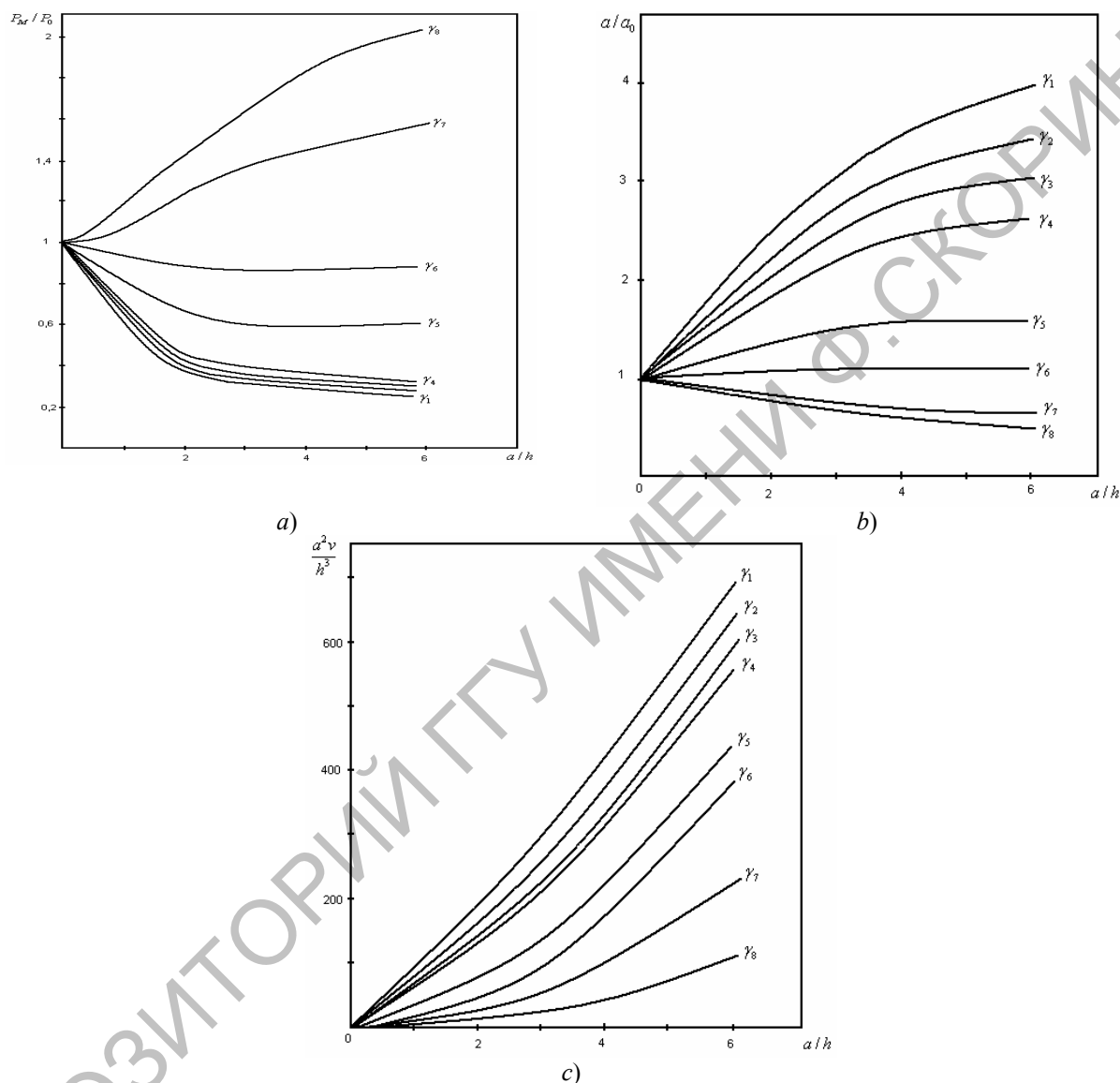


Рисунок 6 – Зависимости при вдавлении жесткого цилиндрического штампа в ортотропное покрытие с модулями упругости:

- a) – относительного давления P_M / P_0 от a/h ;
- b) – относительной полуширины площадки контакта a/a_0 от a/h ;
- c) – относительной величины вдавления v от a/h .

Параметры расчета: $E_1 = 52.7$ ГПа; $E_2 = 11.9$ ГПа; $G_{12} = 5.62$ ГПа; $\nu_{12} = 0.25$ для различных отношений упругих постоянных покрытия и основания: $\gamma_1 = \frac{E_2}{E} = 24$; $\gamma_2 = 16$; $\gamma_3 = 12$; $\gamma_4 = 8$; $\gamma_5 = 2.4$; $\gamma_6 = 1$; $\gamma_7 = 0.2$; $\gamma_8 = 0.06$.

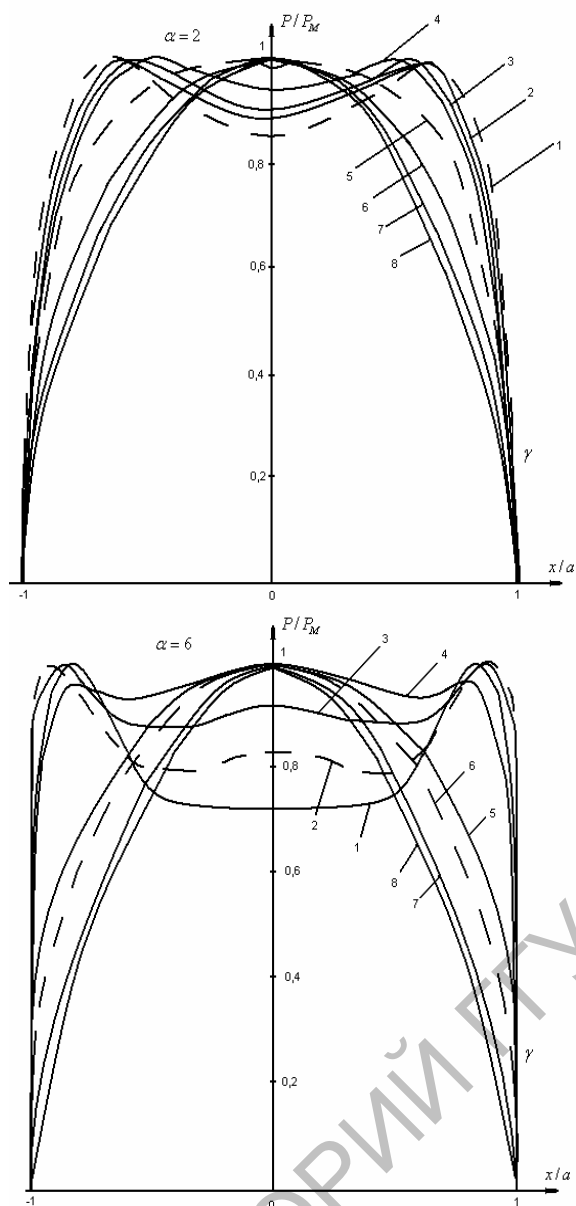


Рисунок 7 – Изменение профилей давления при вдавлении цилиндрического штампа в ортотропное покрытие на упругом основании в зависимости от модуля упругости E

$(1 - \gamma_1 = \frac{E_2}{E} = 24; 2 - \gamma_2 = 16; 3 - \gamma_3 = 12;$
 $4 - \gamma_4 = 8; 5 - \gamma_5 = 2.4; 6 - \gamma_6 = 1; 7 - \gamma_7 = 0.2;$
 $8 - \gamma_8 = 0.06).$

Параметры расчета: для покрытия $E_x = 52.7$ ГПа; $E_y = 11.9$ ГПа; $G_{12} = 5.62$ ГПа;
 $\alpha = \frac{a}{h} = 6; \alpha = \frac{a}{h} = 2; \nu_{12} = 0.25.$

Теоретический расчет можно производить по приближенным зависимостям [8]

$$(a/a_0)^2 = (1 - \sqrt{1 - 4d_1 a_0^2 / h^2}) / 2d_1 a_0^2 / h^2,$$

$$\delta = -\frac{a_0^2}{2R} \left[\ln \frac{a}{h} - 1.193 + d_0 + \frac{d_1 a^2}{4 h^2} \right].$$

Здесь зона контакта a_0 и давление p_0 (типа Герца) определяются по формулам (3.5) и (3.4), а коэффициенты определяются из вычисления интегралов:

$$d_0 = \int_0^\infty \frac{N(\beta) - e^{-\beta}}{\beta} d\beta; \quad N(\beta) = 1 + L(\beta);$$

$$d_j = \frac{(-1)^j}{(2j)!} \int_0^\infty [1 + L(\beta)] \beta^{2j-1} d\beta; \quad \left| \frac{t-x}{h} \right| < 2.$$

$$L(\beta) = \frac{(\beta_2 - \beta_1) sh \frac{\beta}{\beta_1} sh \frac{\beta}{\beta_2}}{\beta_1 sh \frac{\beta}{\beta_2} ch \frac{\beta}{\beta_1} - \beta_2 sh \frac{\beta}{\beta_1} ch \frac{\beta}{\beta_2}},$$

где

$$\beta_{1,2} = \left(\frac{S_{66} + 2S_{12} \pm \sqrt{(S_{66} + 2S_{12})^2 - 4S_{11}S_{22}}}{2S_{11}} \right)^{-1}.$$

Связь между напряжениями ($\sigma_x, \sigma_y, \tau_{xy}$) и деформациями ($\varepsilon_x, \varepsilon_y, \gamma_{xy}$) запишем, используя обобщенный закон Гука

$$\begin{pmatrix} \varepsilon_x \\ \varepsilon_y \\ \gamma_{xy} \end{pmatrix} = \begin{pmatrix} S_{11} & S_{12} & 0 \\ S_{12} & S_{22} & 0 \\ 0 & 0 & S_{66} \end{pmatrix} \begin{pmatrix} \sigma_x \\ \sigma_y \\ \tau_{xy} \end{pmatrix},$$

где постоянные S_{ij} для плоской деформации определяются:

$$S_{11} = \frac{1 - \nu_{13}\nu_{31}}{E_1}, \quad S_{12} = -\frac{\nu_{12} + \nu_{13}\nu_{31}}{E_1},$$

$$S_{22} = \frac{1 - \nu_{32}\nu_{23}}{E_2}, \quad S_{66} = \frac{1}{G_{12}},$$

а при плоско-напряженном состоянии коэффициент Пуассона: $\nu_{j3} = \nu_{3j} = 0, j = 1, 2$. При этом между модулями упругости существует

$$\text{связь: } \frac{\nu_{ij}}{E_i} = \frac{\nu_{ji}}{E_j}, \quad i, j = 1, 2, 3.$$

3 Взаимодействие цилиндрического индентора с ортотропной полуплоскостью

Для более четкого применения теории контактного взаимодействия в случае ортотропных тел ниже приведена концепция расчета на основании работ [8], [15]. Предполагается, что имеется слоистый материал (слой на жестком основании), армированный волокнами, которые ориентированы в направлении одной из осей Ox или Oy (координатные оси совпадают с основными направлениями анизотропии материала). Если форму контактирующего зонда – индентора в области контакта можно описать в виде цилиндра (параболы), то решение контактной задачи строится на использовании функции Грина,

определяющей вертикальное перемещение границы $y = 0$ ортотропной полуплоскости, нагруженной сосредоточенной силой P [8].

$$v = \frac{P}{2\pi(\beta_1 - \beta_2)} \left[S_{22} \left(\beta_1^2 \ln \left| \frac{x\beta_1}{h} \right| - \beta_2^2 \ln \left| \frac{x\beta_2}{h} \right| \right) + S_{12} \ln \left| \frac{\beta_2}{\beta_1} \right| \right], \quad (3.1)$$

Функция Грина (3.1) определялась из граничных условий: равенство нулю вертикального перемещения ($v = 0$ при $x = 0, y = h$); отсутствие поворота ($\frac{dv}{dx} = 0$ при $x = 0, y = 0$). Решение контактной задачи сводится к определению неизвестного закона распределения давления, удовлетворяющего условию равновесия: $\int_{-a}^a p(t) dt = P$.

Предполагается, что напряжения σ_{yy} и τ_{xy} , распределенные на границе полуплоскости, заданы следующим образом:

$$\sigma_{yy} = \begin{cases} p(x), & -a \leq x \leq a, y = 0; \\ 0, & a < |x|; \end{cases} \\ \tau_{xy} = 0, \quad -\infty \leq x \leq \infty, y = 0.$$

Используя зависимость (3.1) и подставив функцию Грина, находим для заданных выше граничных условий перемещение:

$$v = \left\{ -\frac{S_{22}}{\pi(\beta_1 - \beta_2)} \beta_1^2 \int_{-a}^a p(t) \ln \left| \frac{\beta_1}{h} (x-t) \right| dt + \frac{S_{22}}{\pi(\beta_1 - \beta_2)} \beta_2^2 \int_{-a}^a p(t) \ln \left| \frac{\beta_2}{h} (x-t) \right| dt - \frac{S_{22}}{\pi(\beta_1 - \beta_2)} \ln \frac{\beta_2}{\beta_1} P \right\}. \quad (3.2)$$

Используя функцию Грина, граничные условия и условия равновесия, получаем интегральное уравнение для определения давления $p(x)$ [8]:

$$\frac{1}{\pi} \theta_s \int_{-a}^a p(t) \ln |t-x| dt = f(x) + const, \quad (3.3)$$

где $\theta_s = (\beta_1 + \beta_2) S_{22}$, $f(x)$ – уравнение контура цилиндра.

Для малых областей контакта, представив приближенное уравнение цилиндра в виде:

$$f(x) = \frac{x^2}{2R},$$

получим известное решение уравнения

$$p(x) = \frac{1}{R\theta_s} \sqrt{a^2 - x^2}, \quad -a \leq x \leq a. \quad (3.4)$$

Подставив это решение в условие равновесия, легко определим значение полуширины площадки контакта:

$$a = \sqrt{\frac{2PR\theta_s}{\pi}}. \quad (3.5)$$

Зная закон распределения давления в области контакта, нетрудно найти максимальное перемещение границы ортотропной полуплоскости при вдавливании жесткого цилиндрического штампа. Действительно, используя зависимости для перемещений (3.2) при $x = 0$, получаем

$$v = -\frac{1}{\pi} \theta_s \left[\int_{-a}^a p(t) \ln |t| dt - K_0 P \right], \quad (3.6)$$

где

$$K_0 = \left[S_{22} (\beta_1 + \beta_2) \ln h - \frac{S_{22}}{\beta_1 - \beta_2} (\beta_1^2 \ln \beta_1 - \beta_2^2 \ln \beta_2) - \frac{S_{12}}{\beta_1 - \beta_2} \ln \frac{\beta_2}{\beta_1} \right].$$

Подставив в (3.6) $p = \frac{2P}{\pi a} \sqrt{a^2 - x^2}$ и вычислив интеграл, найдем перемещение границы ортотропной полуплоскости [8]:

$$v = -\frac{P}{\pi} \left\{ S_{22} (\beta_1 + \beta_2) \left[\ln \frac{a}{2h} - \frac{1}{2} \right] + \frac{S_{22}}{\beta_1 - \beta_2} (\beta_1^2 \ln \beta_1 - \beta_2^2 \ln \beta_2) + \frac{S_{12}}{\beta_1 - \beta_2} \ln \frac{\beta_2}{\beta_1} \right\}. \quad (3.7)$$

Таким образом, определяются параметры контакта при взаимодействии иглы кантилевера и контактируемого ортотропного тела. Для упрощения решение строилось в случае, когда контактирующий зонд – индентор абсолютного жесткий. По этой методике строится решение для упругого индентора, но тогда в интегральном уравнении (3.3) параметр θ будет иметь вид

$$\theta_s = (\beta_1 + \beta_2) S_{22} + 2 \frac{1-\nu^2}{E},$$

соответственно перемещения определяются по (3.6) при подстановке давления (3.4).

Заключение

В результате проведенных исследований обобщены механические и математические модели контактного взаимодействия сферического (цилиндрического) индентора, применяющегося при нано-контакте с армированным композитом (слоем), механические свойства которого описываются теорией ортотропного тела; представлен учет свойств анизотропии.

Предлагаемые математические модели для описания влияния ориентации волокон на параметры статического контакта, являются приближенными. Здесь не учитываются такие процессы, как выдергивание волокон, их связь с матрицей, форма и размеры волокон и т.д. Используя полученный метод, можно оценить влияние свойств, расположения волокон и их объемного содержания на напряжение в композите при контакте опираясь на модели [15]. По аналитическим и графическим зависимостям можно произвести расчеты для различных материалов с целью дальнейшего применения в нано-технологиях.

ЛИТЕРАТУРА

1. *Штаерман, И.Я.* Контактная задача теории упругости / И.Я. Штаерман. – М. : Гостехтеоретиздат, 1949.
2. *Динник А.Н.* Удар и сжатие упругих тел / А.Н. Динник. – Киев : Изд-во АН УССР, 1952.
3. *Goldsmith, W.* Impact / W. Goldsmith. – London : Edward Arnold, 1960.
4. *Moon, F.C.* Structural design and analysis / F.C. Moon // Impact; ed. C.C. Chams. – New York : Academic press, 1975. – Vol. 7. – P. 260–320.
5. *Moon, F.C.* Theoretical analysis of impact in composite plates / F.C. Moon // Univ. Rep. for NASA Lewis Res. Lab. – CR-121110, 1972.
6. *Грещук, Л.В.* Перелом композиционных материалов при низко-скоростных ударах / Л.В. Грещук // Динамика удара; под ред. С.С. Григорьева. – М. : Мир, 1985. – С. 8–46.
7. *Saka, N.* Friction and wear of fiber-reinforced metal-matrix composites / N. Saka, N. Szeto, T. Er-turk // Wear. – 1992. – Vol. 157, № 2. – P. 339–357.
8. *Можаровский, В.В.* Прикладная механика слоистых тел из композитов / В.В. Можаровский, В.Е. Старжинский. – Минск : Наука и техника, 1988.
9. *Прусов, И.А.* Термоупругие анизотропные пластинки / И.А. Прусов. – Мн. : БГУ, 1978. – 200 с.
10. *Можаровский, В.В.* Плоские контактные задачи для анизотропных покрытий с учетом трения / В.В. Можаровский // Трение и износ. – 1992. – Т.13, № 5. – С. 825–836.
11. *Можаровский, В.В.* Влияние трения между цилиндрическим индентором и покрытием на параметры контакта / В.В. Можаровский // Трение и износ. – 1990. – № 6. – С. 1014–1024.
12. *Можаровский, В.В.* Моделирование напряженно-деформированного состояния массивных шин из армированных материалов / В.В. Можаровский // Материалы, технологии, инструменты. – 2008. – № 3. – С. 14–21.
13. *Можаровский, В.В.* Методы расчета напряженно-деформированного состояния поверхностных слоев из композиционных материалов для тел сопряжения / В.В. Можаровский // Механика. – 1990. – Т. 9, № 2. – С. 81–89.
14. *Можаровский, В.В.* Исследование напряженного состояния волокнистого композиционного материала с однородным покрытием при контакте с цилиндрическим индентором / В.В. Можаровский, Н.А. Рогачева // Материалы, технологии, инструменты. – 2000. – Т. 5, № 2. – С. 5–10
15. *Pleskachevsky, Yu.M.* Mathematical models of quasi-static interaction between fibrous composite bodies / Yu.M. Pleskachevsky, V.V. Mozharovsky, Yu.F. Rouba // Proc. Int. Conf. Computational methods in contact mechanics III, Madrid, July 3-5, 1997. – Madrid, 1997. – P. 363–372.
16. *Галлямов, М.О.* Сканирующая зондовая микроскопия: основные принципы, анализ искажающих эффектов / М.О. Галлямов, И.В. Яминский // [Электронный ресурс]. Режим доступа : http://www.spm.genebee.msu.ru/members/gallyamov/gal_yam/gal_yam1.html. – Дата доступа : 03.05.2010.

Поступила в редакцию 01.06.10.